

Szklarska Poręba - Kamienna  
Seismiczna tomografia refrakcyjna

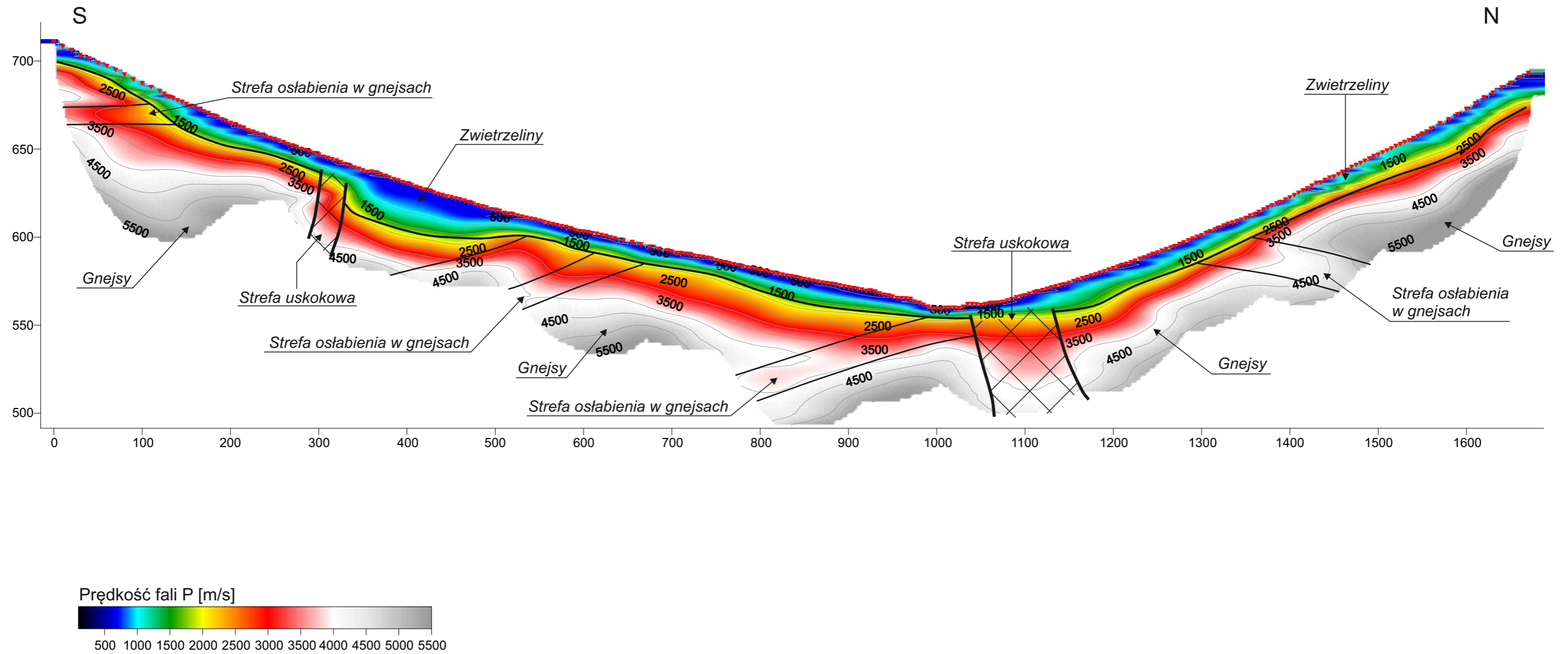


Fig. 4.3.1.  
Przekrój sejsmiczny wzdłuż linii badawczej  
**Szklarska - Kamienna**

Przesieka  
Sejsmiczna tomografia refrakcyjna

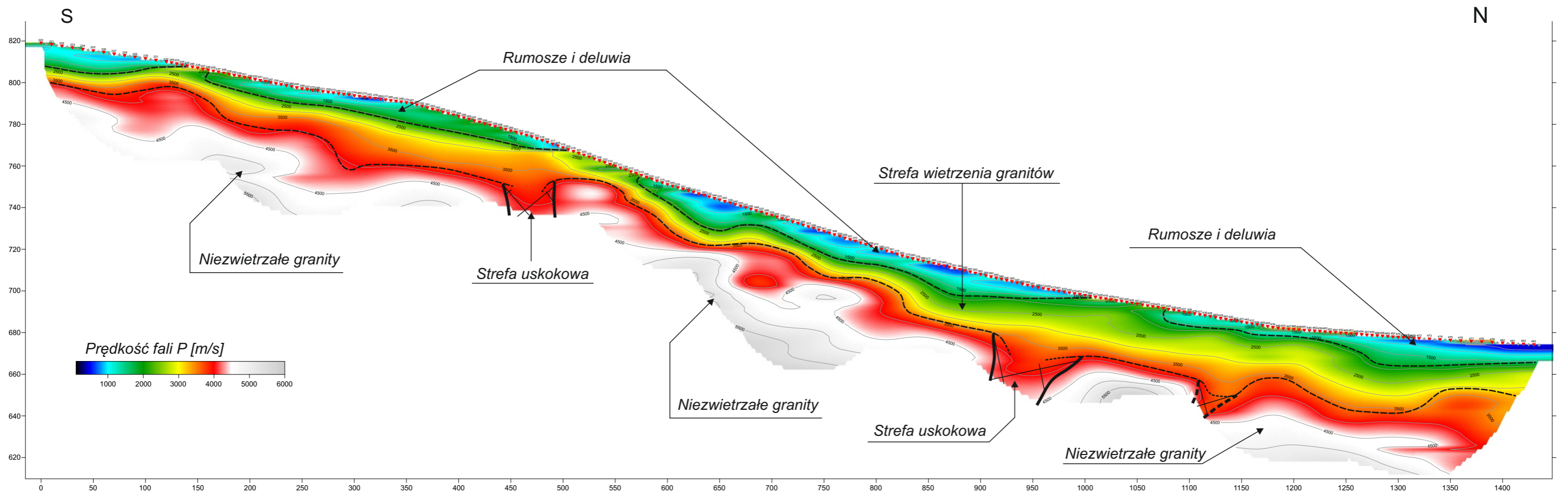


Fig. 4.3.2.  
Przekrój sejsmiczny wzdłuż linii badawczej  
**Przesieka**

Stary Waliszów I  
Tomografia elektrooporowa

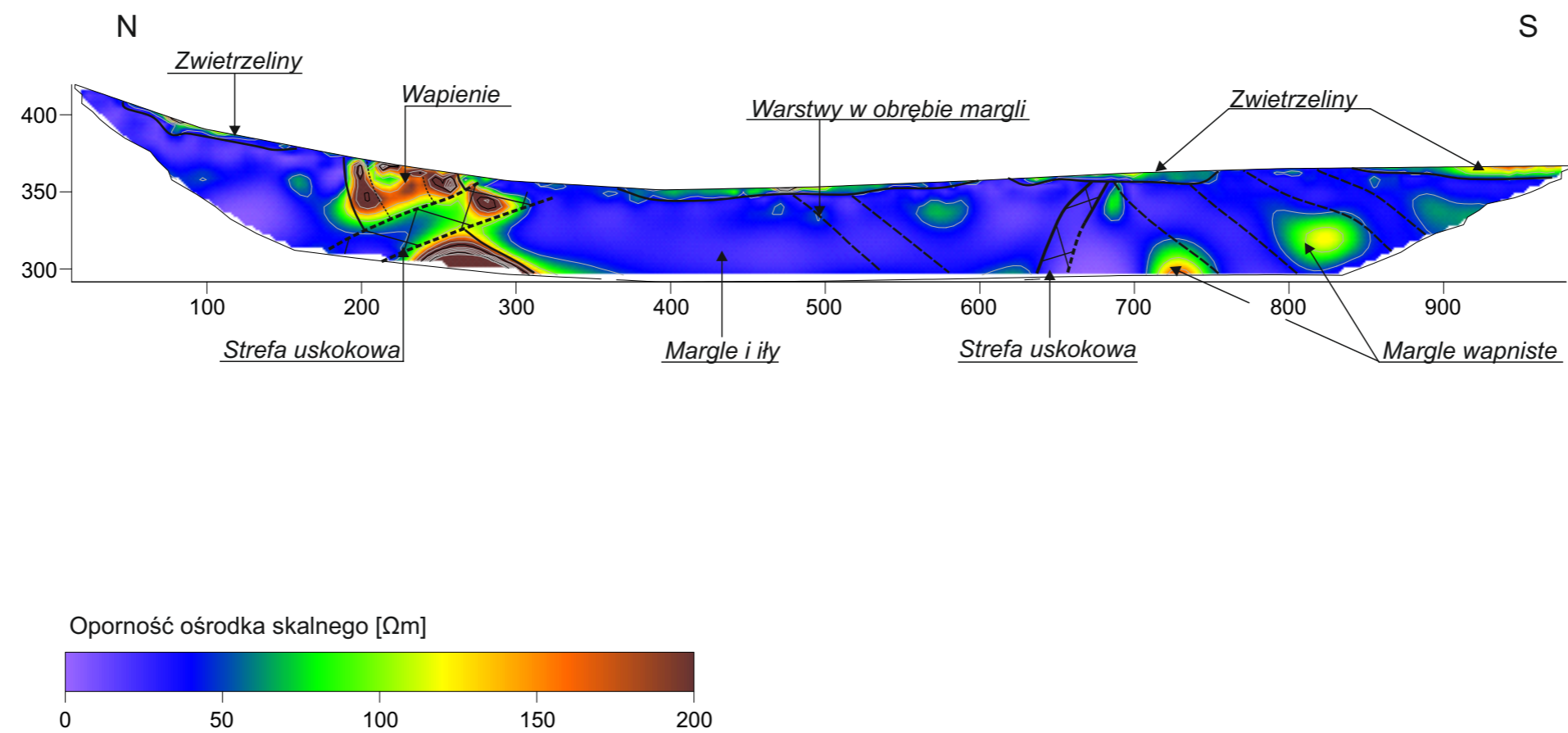


Fig. 4.3.3.  
Przekrój elektrooporowy wzdłuż linii badawczej  
Stary Waliszów I

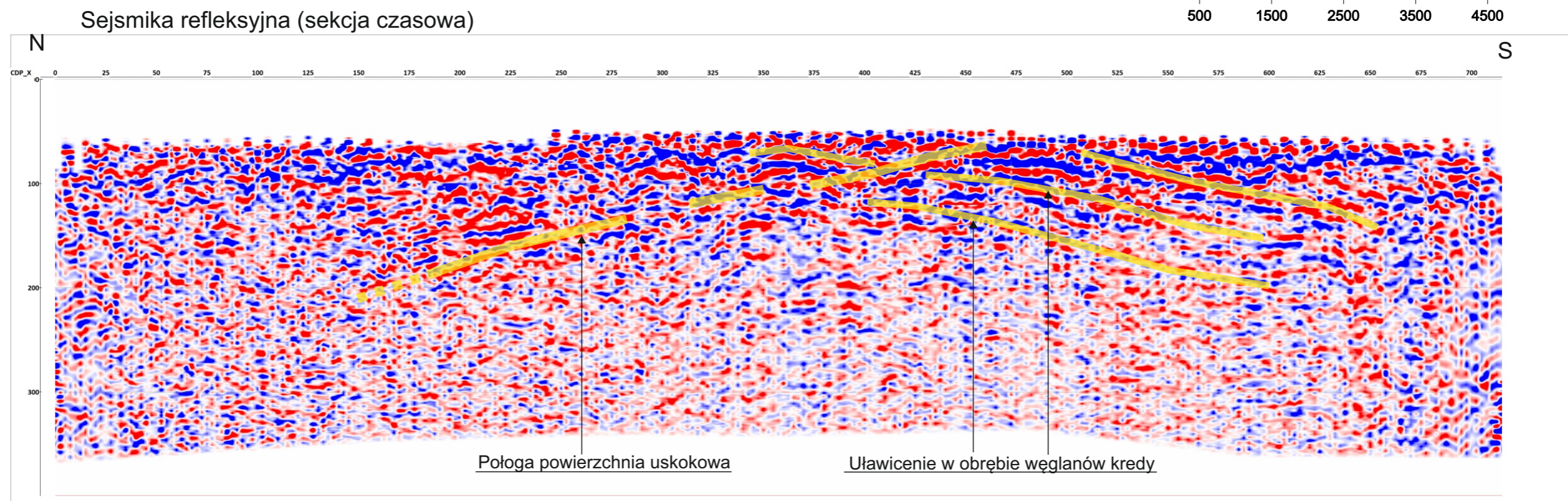
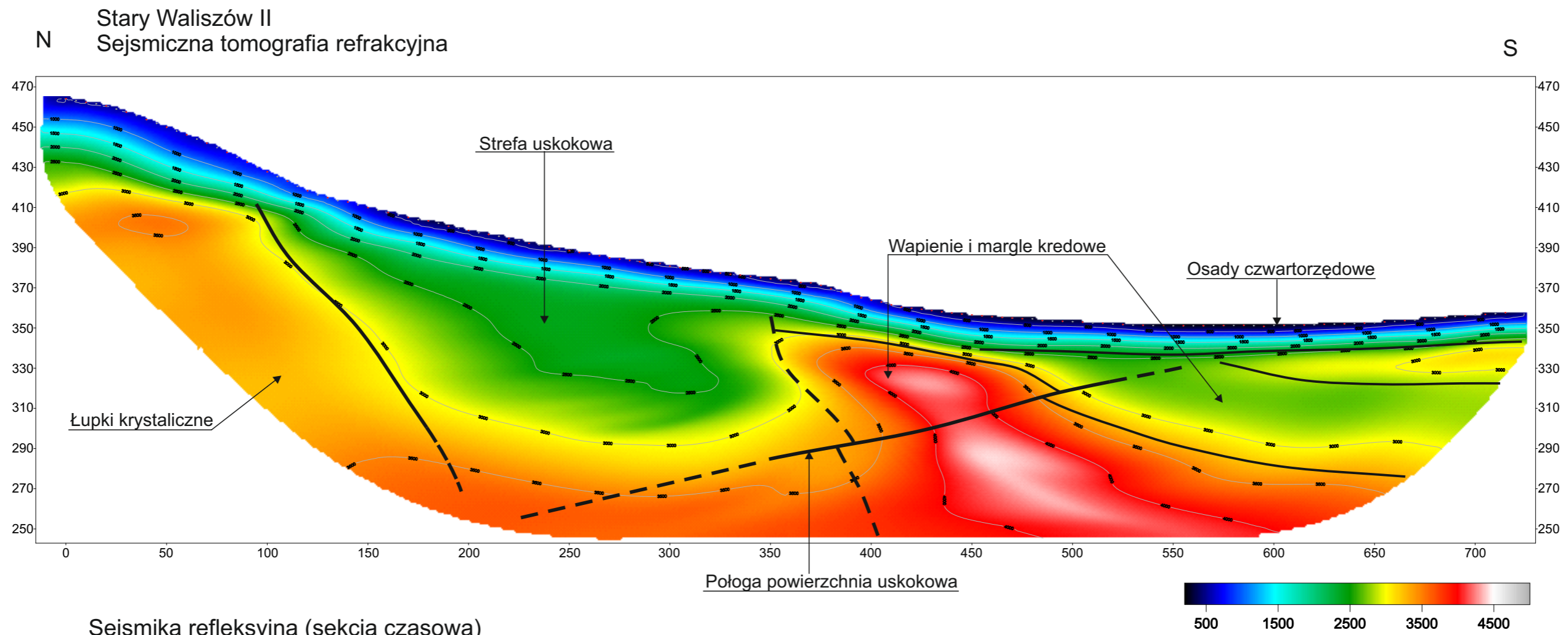
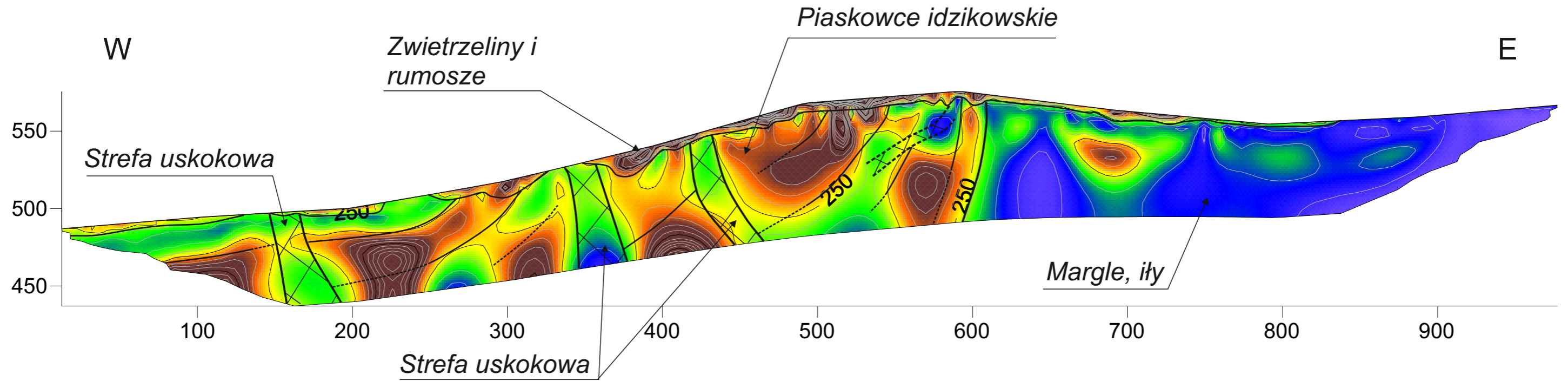


Fig. 4.3.4.  
Przekrój sejsmiczny wzdłuż linii badawczej  
**Stary Waliszów II**

Idzików (Pasterskie Skały), ERT



Oporność elektryczna ośrodka [ $\Omega m$ ]

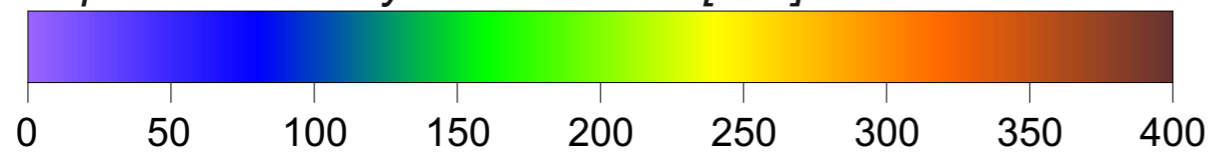


Fig. 4.3.5.  
Przekrój elektrooporowy wzdłuż linii badawczej  
Idzików (Pasterskie Skały)

Wilkanów  
SRT

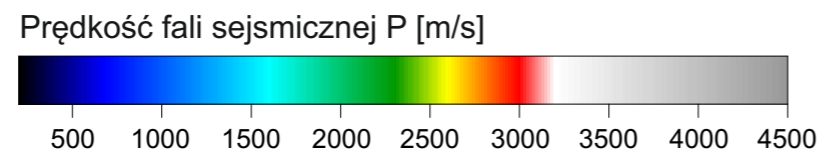
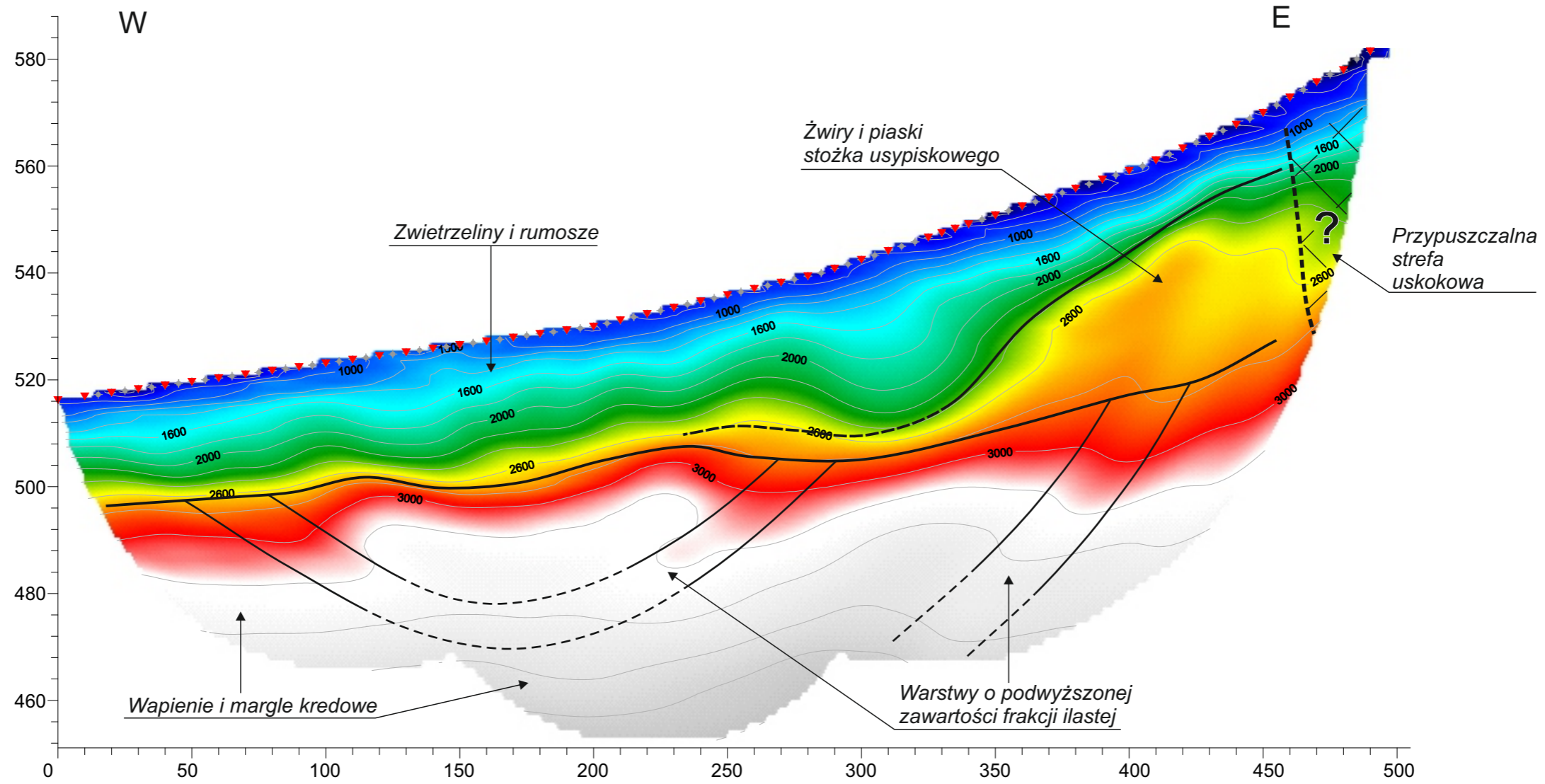


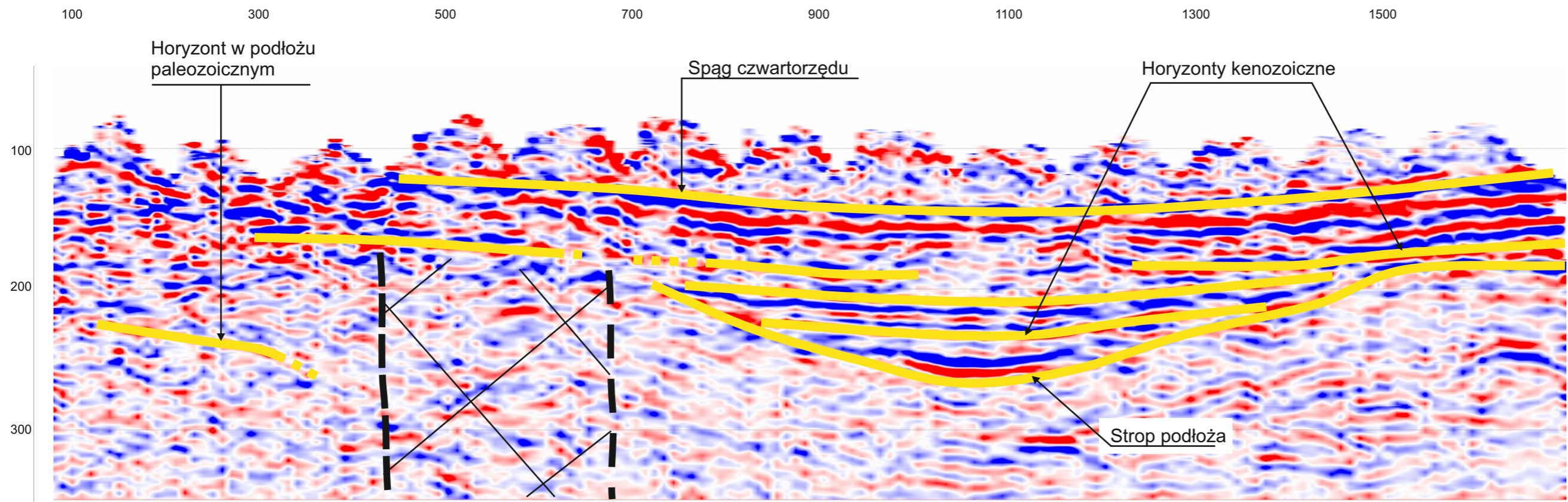
Fig. 4.3.6.  
Przekrój sejsmiczny wzdłuż linii badawczej  
**Wilkanów**

Tomaszów Bolesławiecki I, sejsmika refleksyjna

Sekcja czasowa

SW

NE



Sekcja głębokościowa

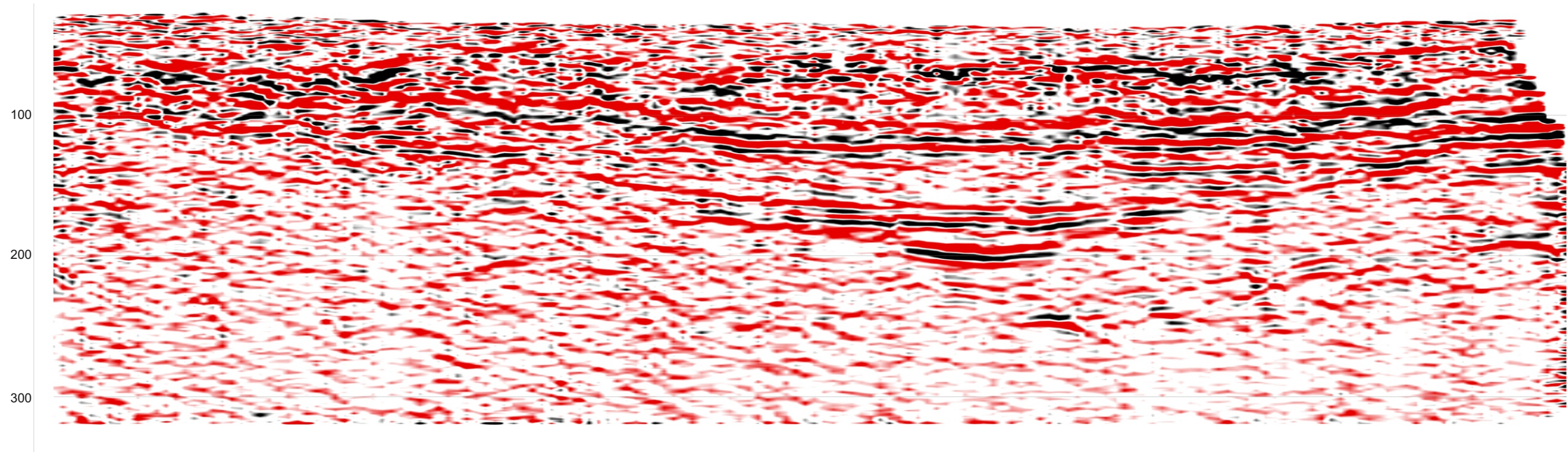
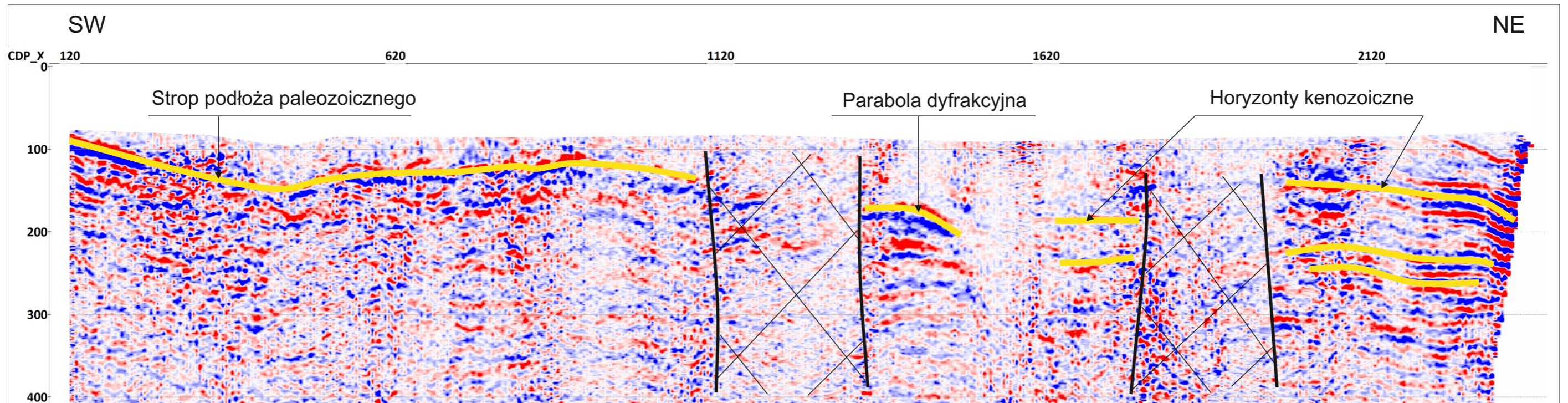
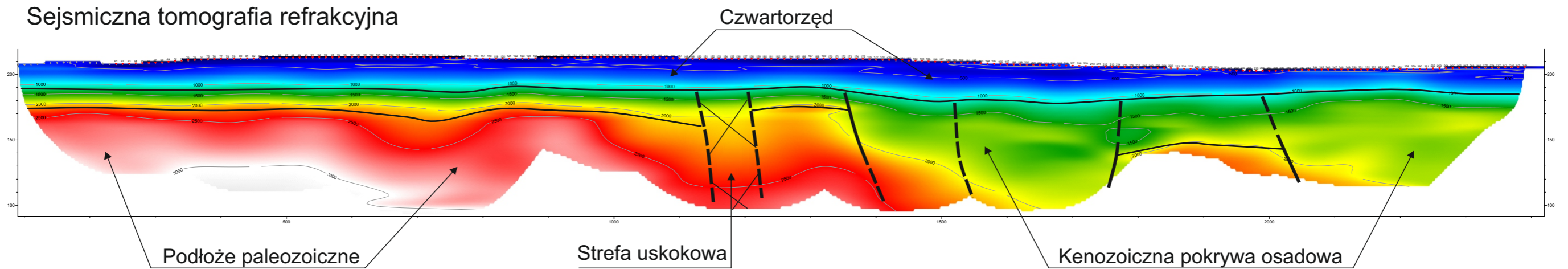


Fig. 4.3.7.  
Przekrój sejsmiczny wzdłuż linii badawczej  
Tomaszów Bolesławiecki I

Tomaszów Bolesławicki II  
Sejsmika refleksyjna, sekcja czasowa



Sejsmiczna tomografia refrakcyjna



Prędkość fali sejsmicznej P. [m/s]

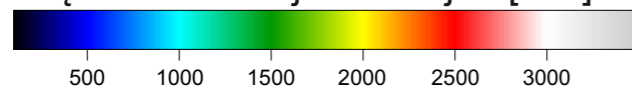


Fig. 4.3.8.  
Przekrój sejsmiczny wzdłuż linii badawczej  
Tomaszów Bolesławicki II



# Męcinka, ERT

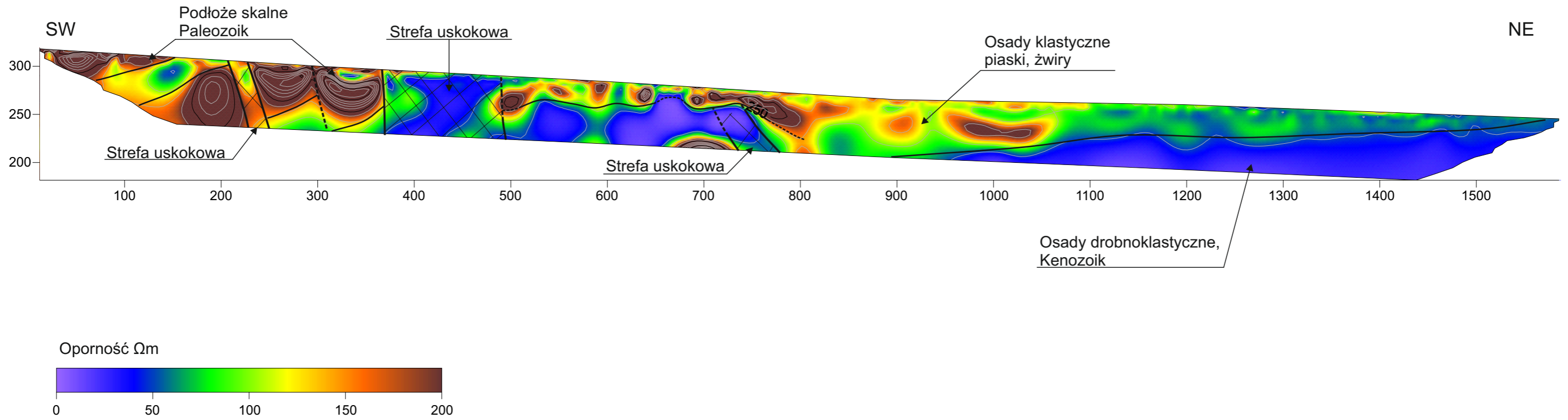
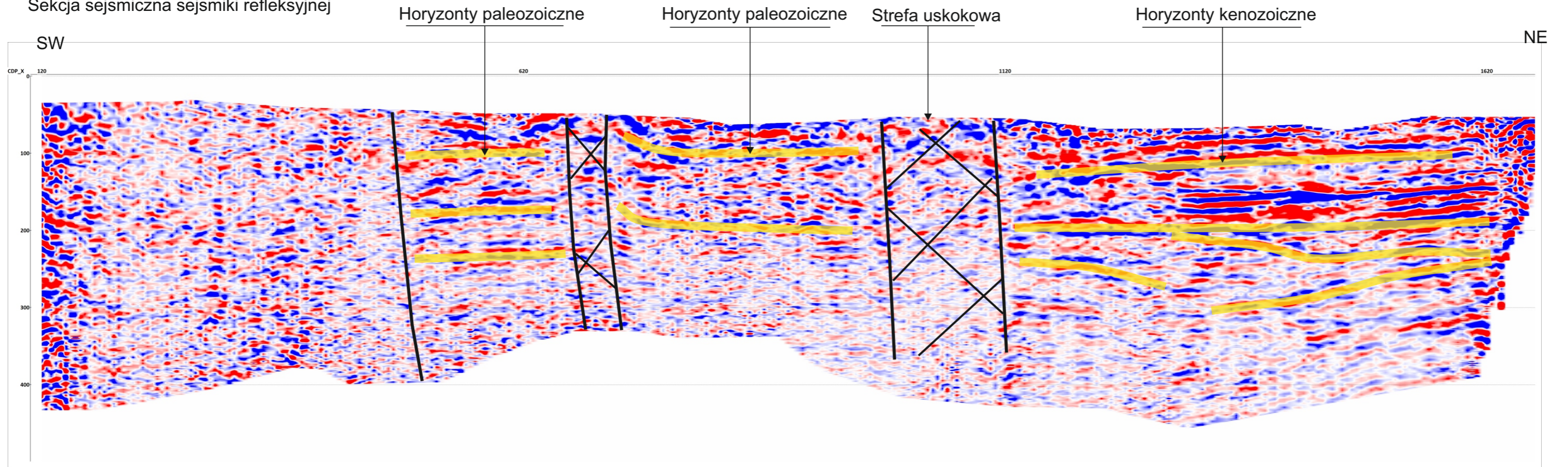


Fig. 4.3.9.  
Przekrój elektrooporowy wzdłuż linii badawczej  
**Męcinka**

# Myślibórz

Sekcja sejsmiczna sejsmiki refleksyjnej



Sejsmiczna tomografia refrakcyjna

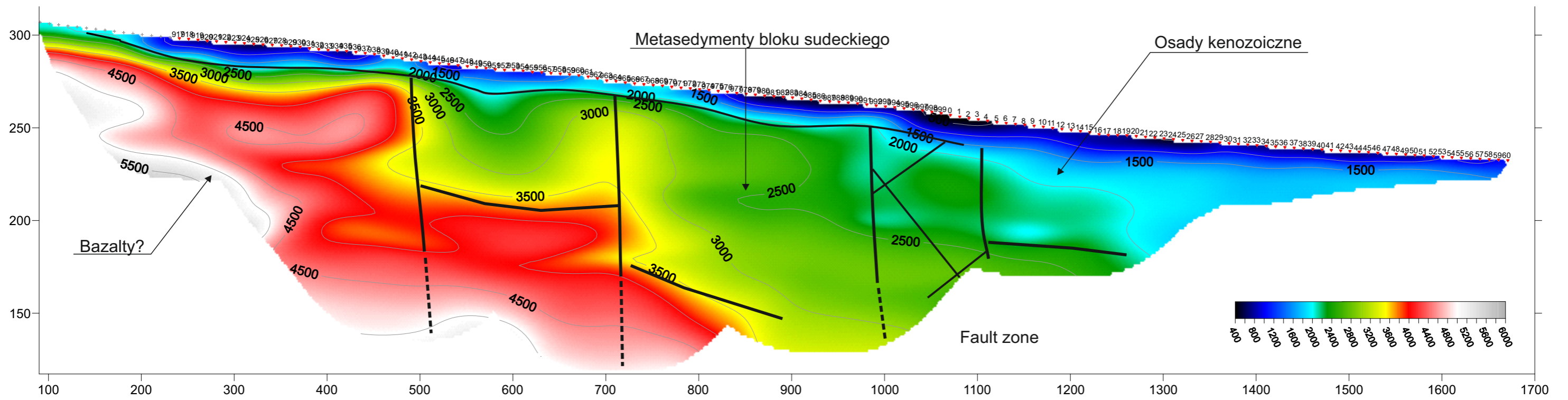


Fig. 4.3.10.  
Przekrój sejsmiczny wzdłuż linii badawczej  
**Myślibórz**

## Kłaczyna - tomografia elektrooporowa

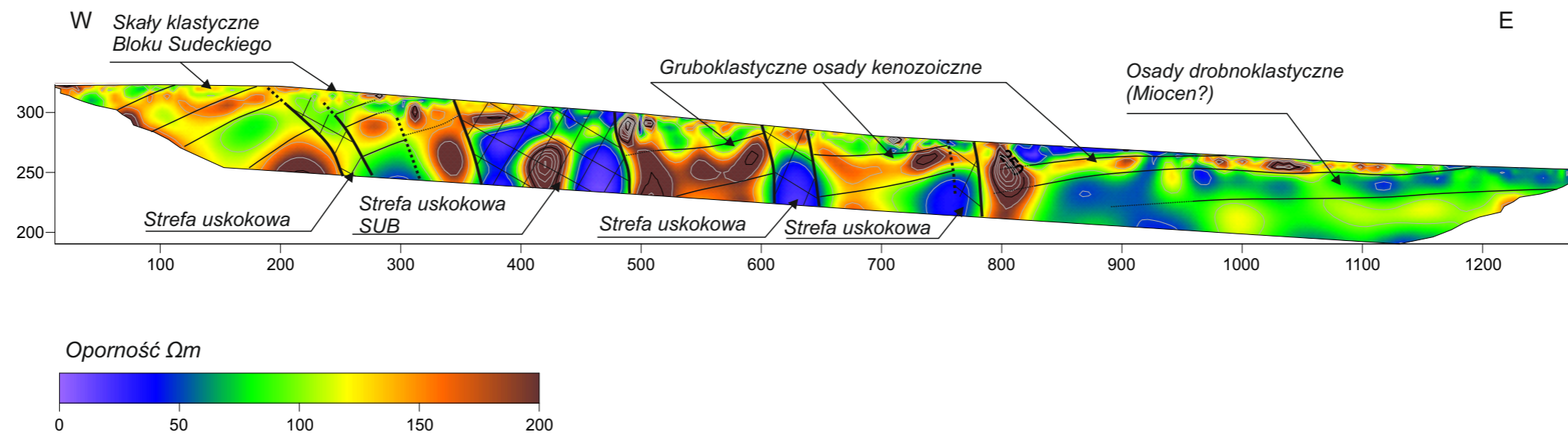


Fig. 4.3.11.  
Przekrój elektrooporowy wzdłuż linii badawczej  
**Kłaczyna**

# Mokrzyszów, sejsmiczna tomografia refrakcyjna

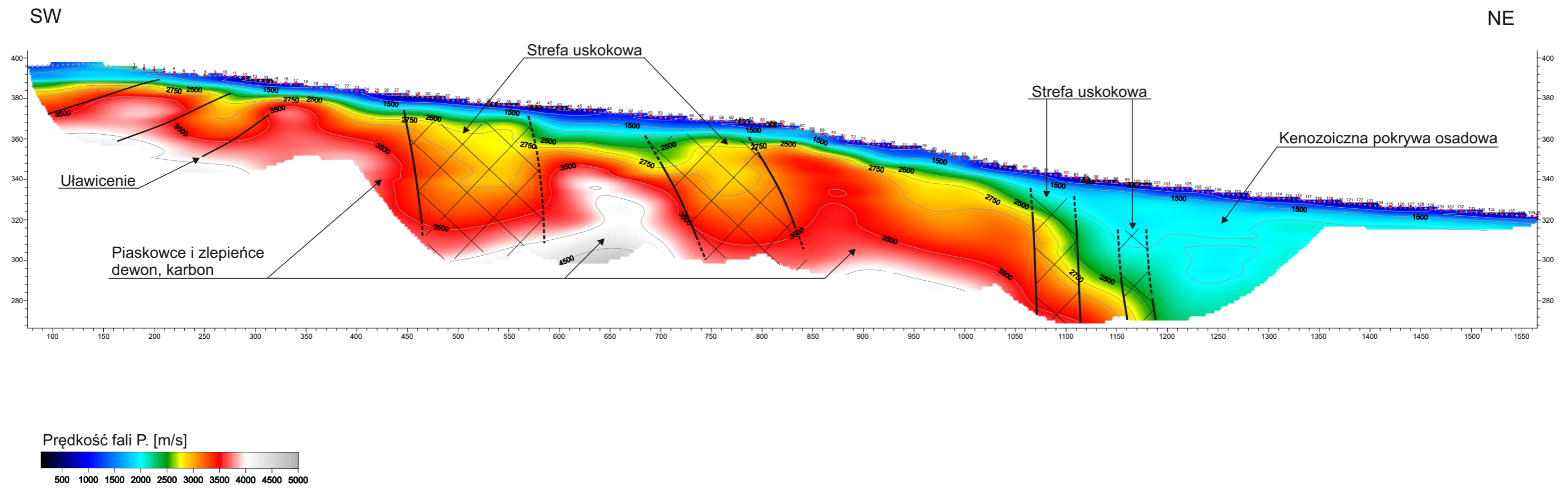


Fig. 4.3.12.  
Przekrój sejsmiczny wzdłuż linii badawczej  
**Mokrzyszów**

# Ostroszowice ERT

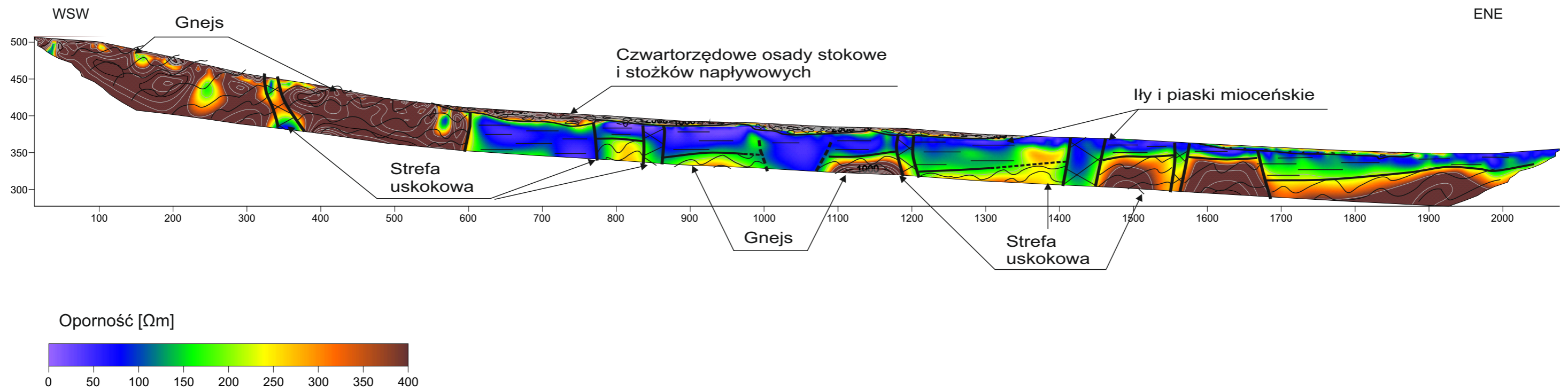
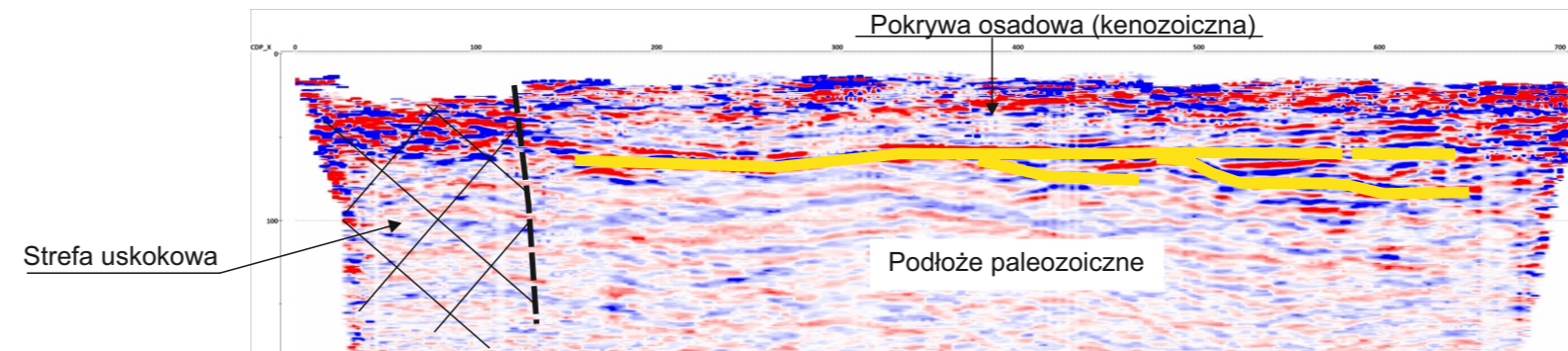


Fig. 4.3.13.  
Przekrój elektrooporowy wzdłuż linii badawczej  
**Ostroszowice**

## Srebrna Góra (Brzeźnica)

### Sejsmika refleksyjna (sekcja czasowa)



### Sejsmiczna tomografia refrakcyjna (przekrój głębokościowy)

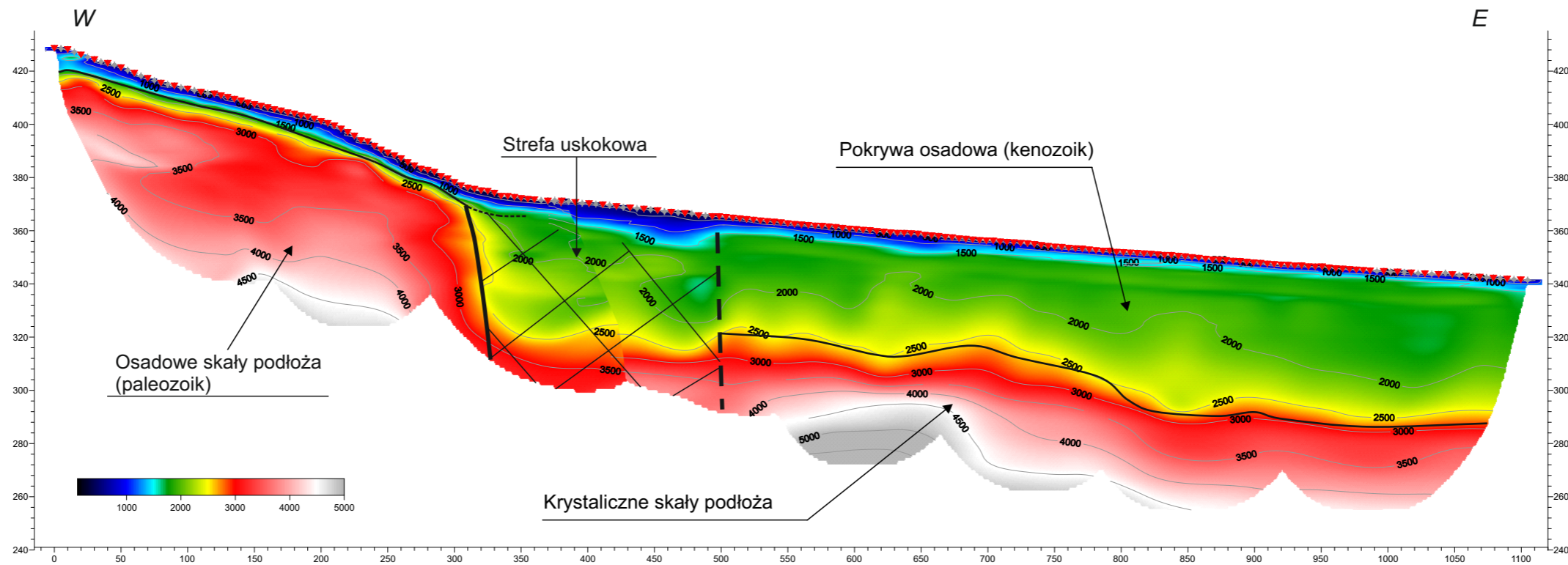


Fig. 4.3.14.  
Przekrój sejsmiczny wzdłuż linii badawczej  
Srebrna Góra (Brzeźnica)

# Mąkolno, sejsmiczna tomografia refrakcyjna

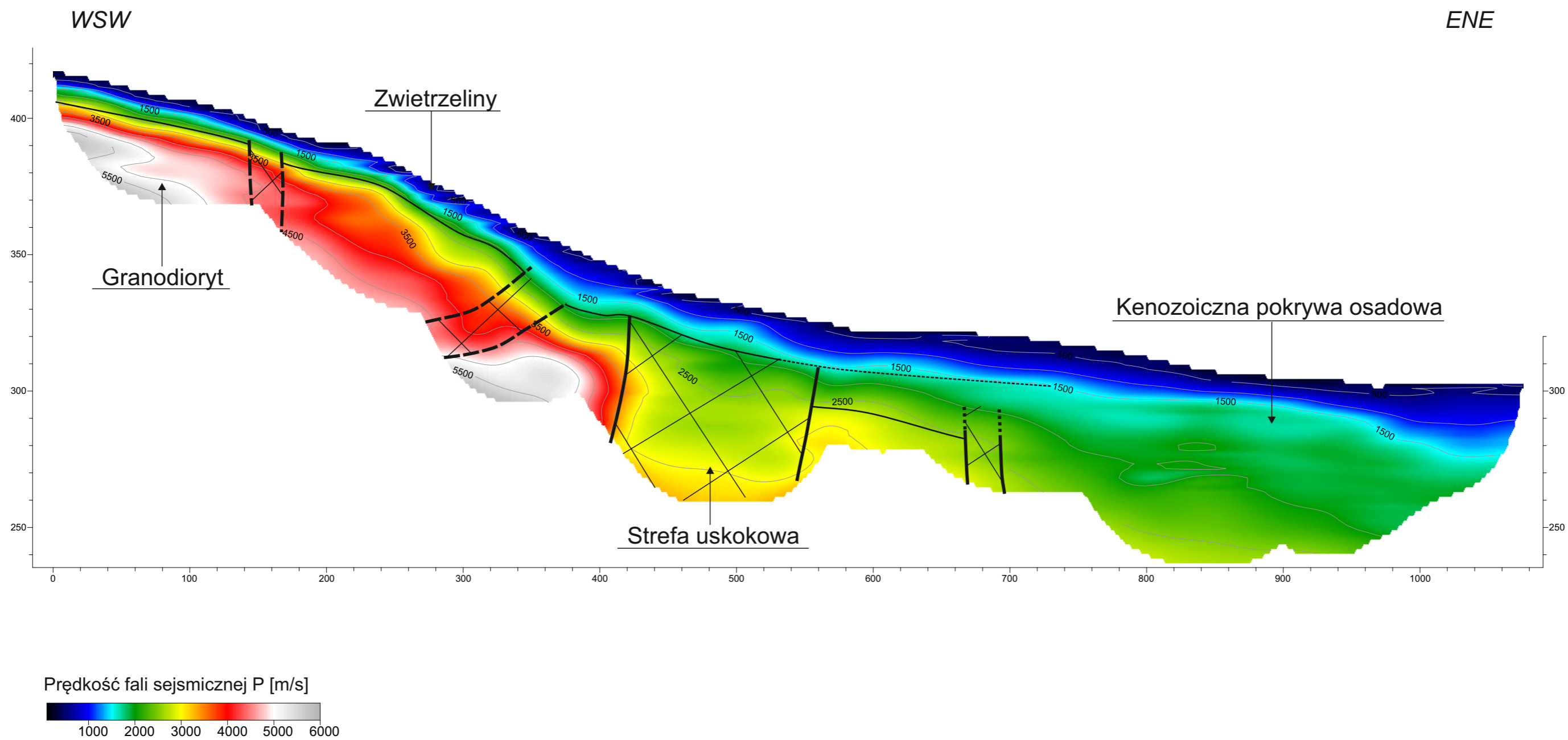


Fig. 4.3.15.  
Przekrój sejsmiczny wzdłuż linii badawczej  
**Mąkolno**

Niemcza  
Sejsmiczna Tomografia Refrakcyjna

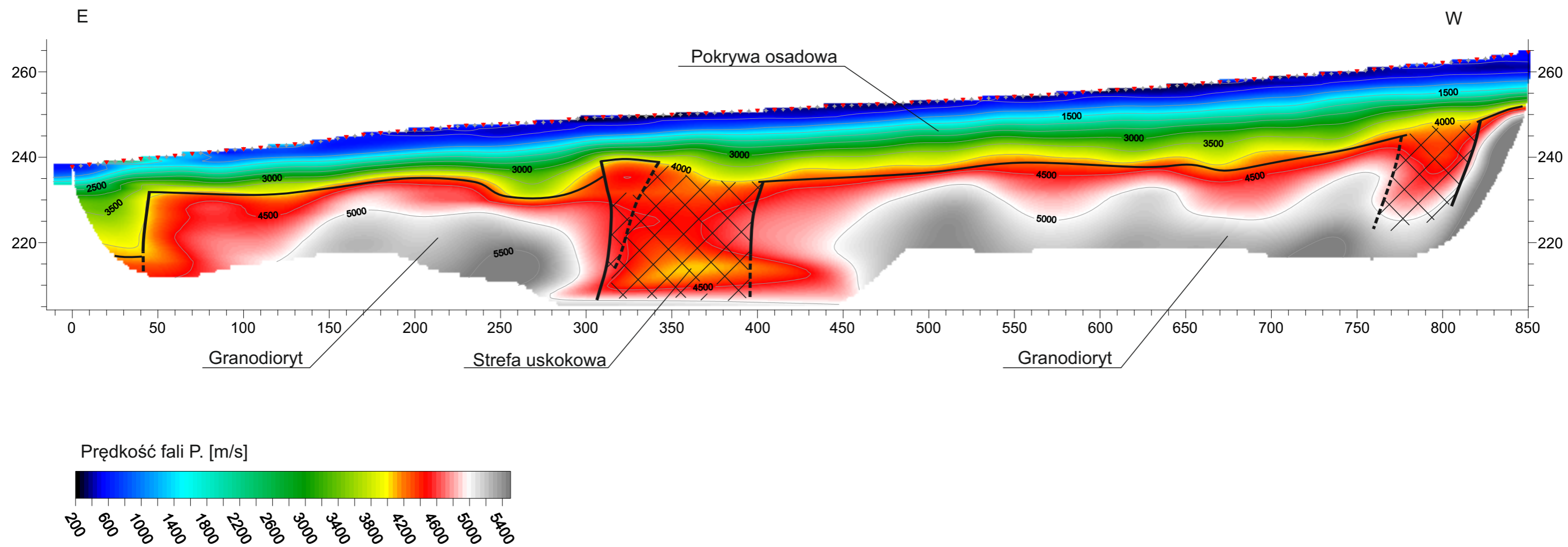


Fig. 4.3.16.  
Przekrój sejsmiczny wzdłuż linii badawczej  
**Niemcza**



# Cieplowody I. Sejsmiczna tomografia refrakcyjna

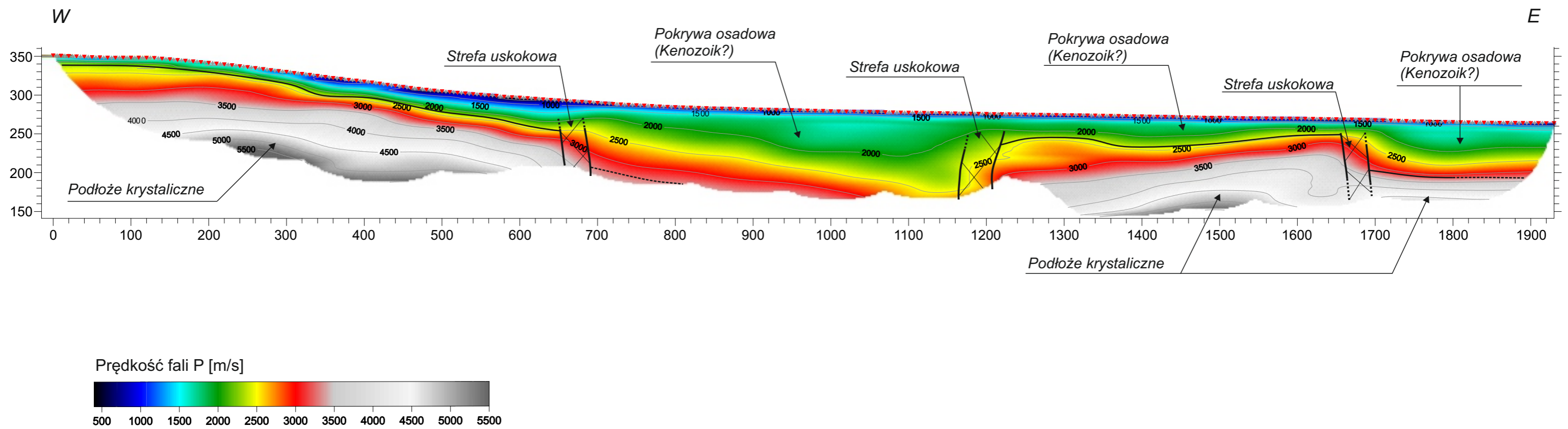
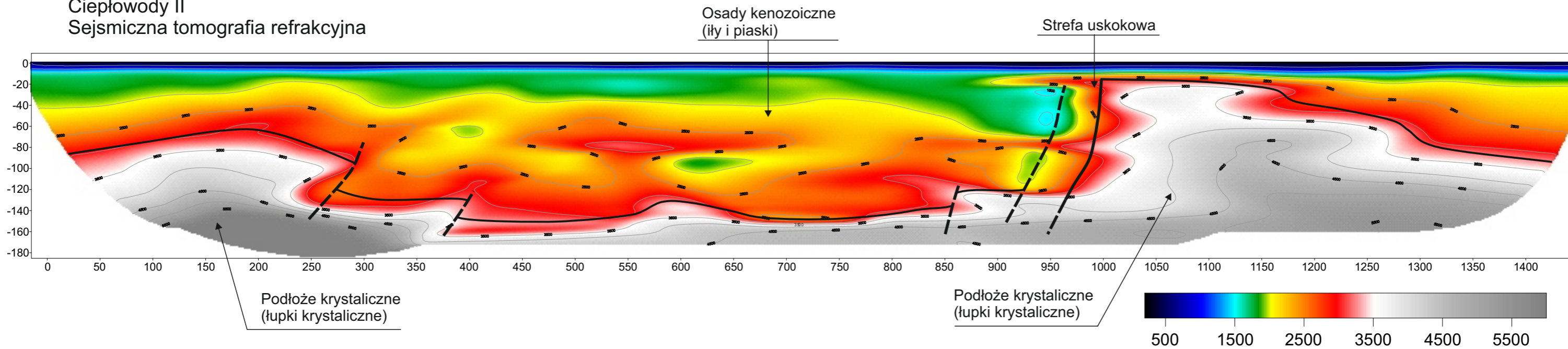


Fig. 4.3.17.  
Przekrój sejsmiczny wzdłuż linii badawczej  
**Cieplowody I**

Cieplowody II  
Sejsmiczna tomografia refrakcyjna



Sejsmika refleksyjna (sekcja głębokościowa)

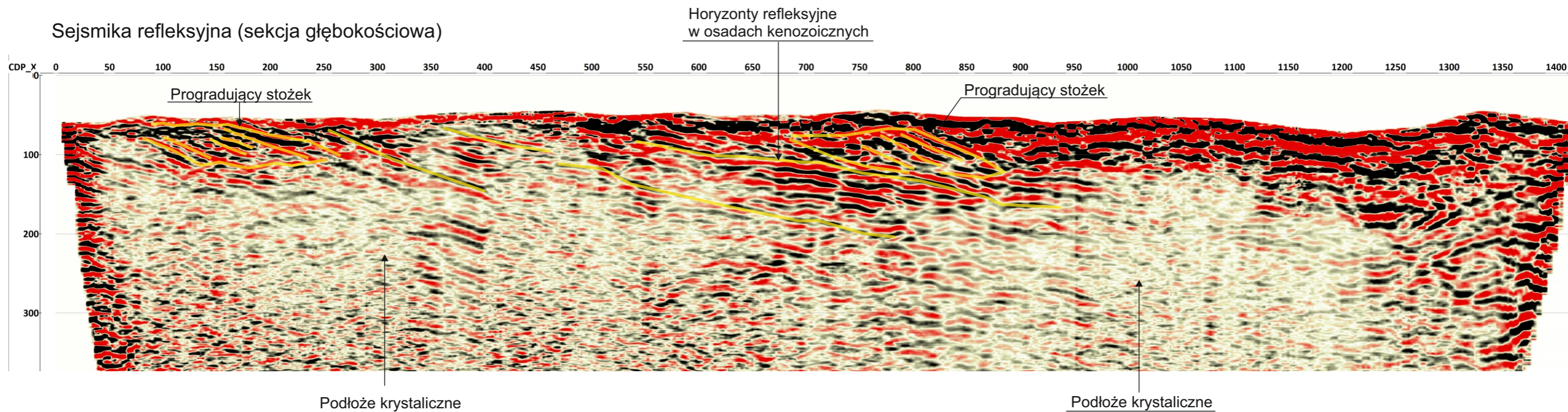


Fig. 4.3.18.  
Przekrój sejsmiczny wzdłuż linii badawczej  
Cieplowody II

# Grabin I - tomografia elektrooporowa

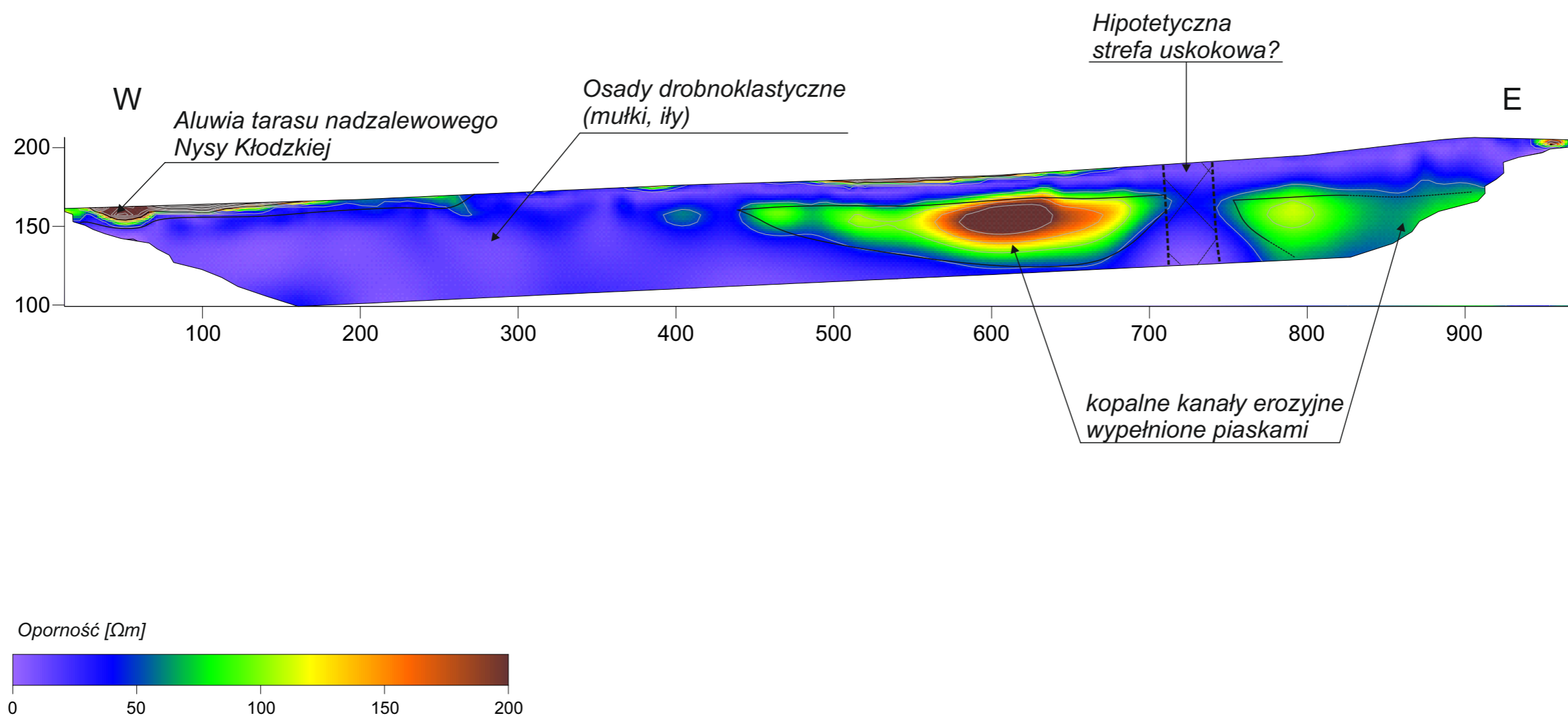
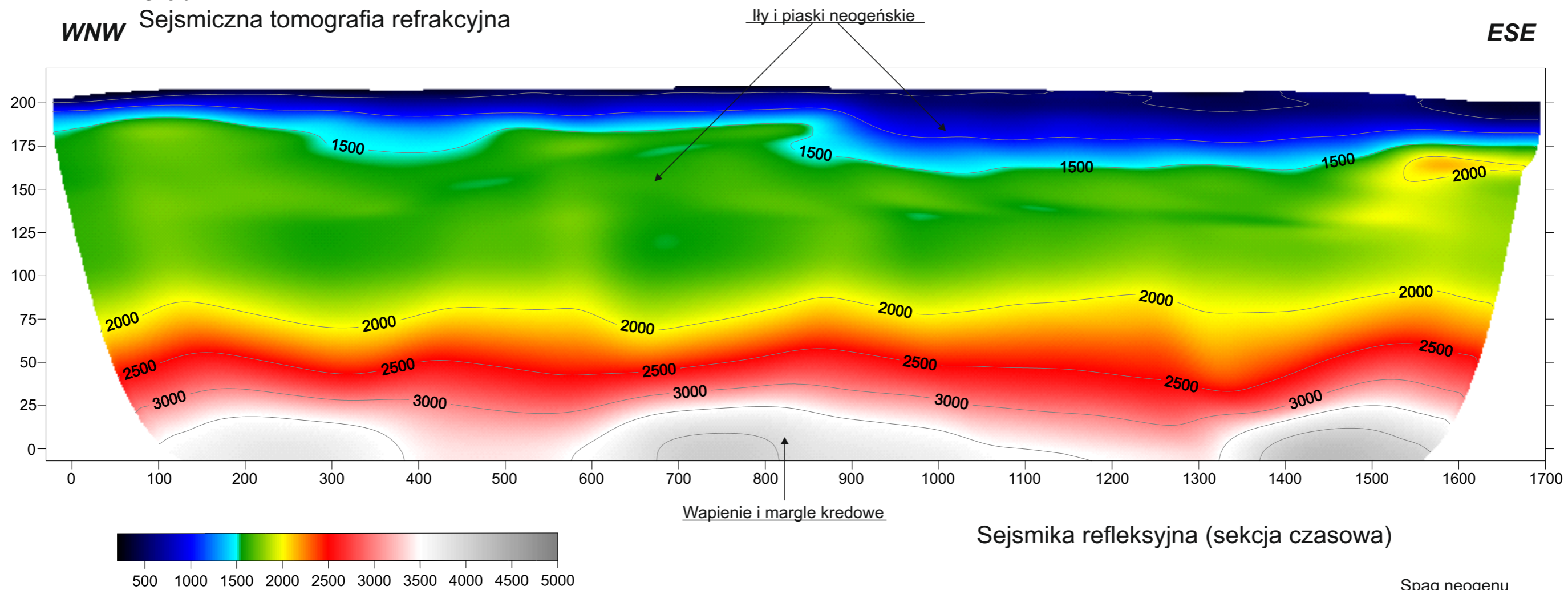


Fig. 4.3.19.  
Przekrój elektrooporowy wzdłuż linii badawczej  
**Grabin I**

Grabin II  
Sejsmiczna tomografia refrakcyjna



Sejsmika refleksyjna (sekcja czasowa)

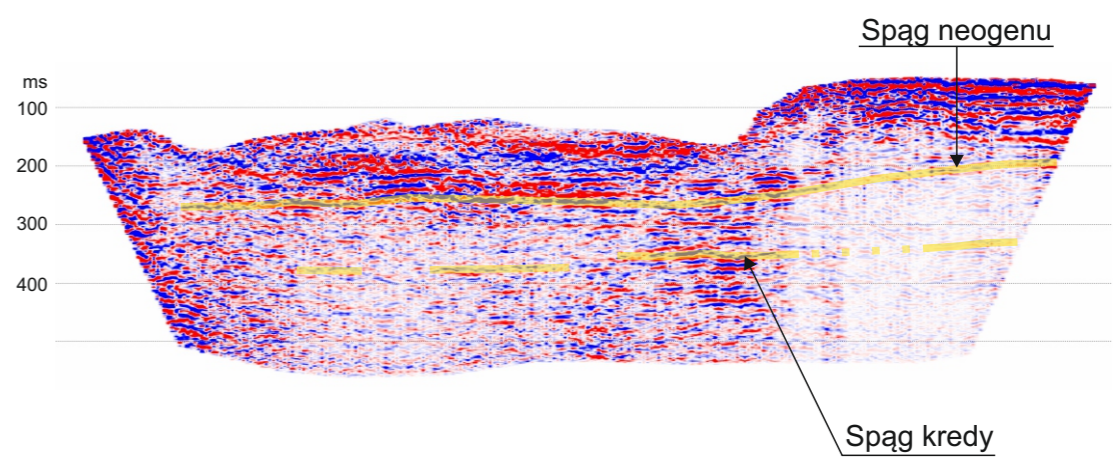


Fig. 4.3.20.  
Przekrój sejsmiczny wzdłuż linii badawczej  
Grabin II

# Tułowice I - Tomografia elektrooporowa

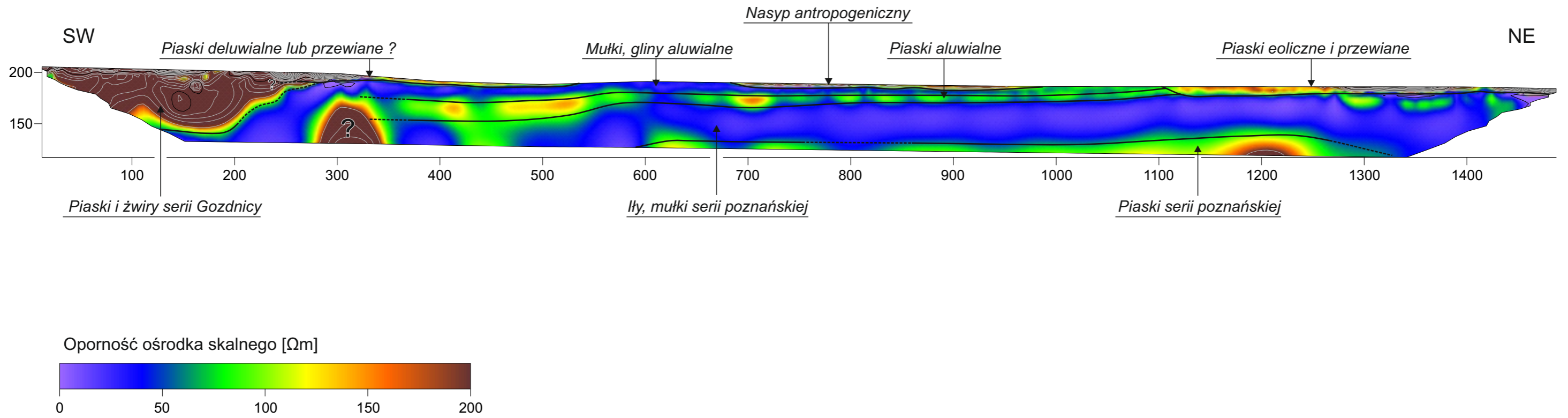
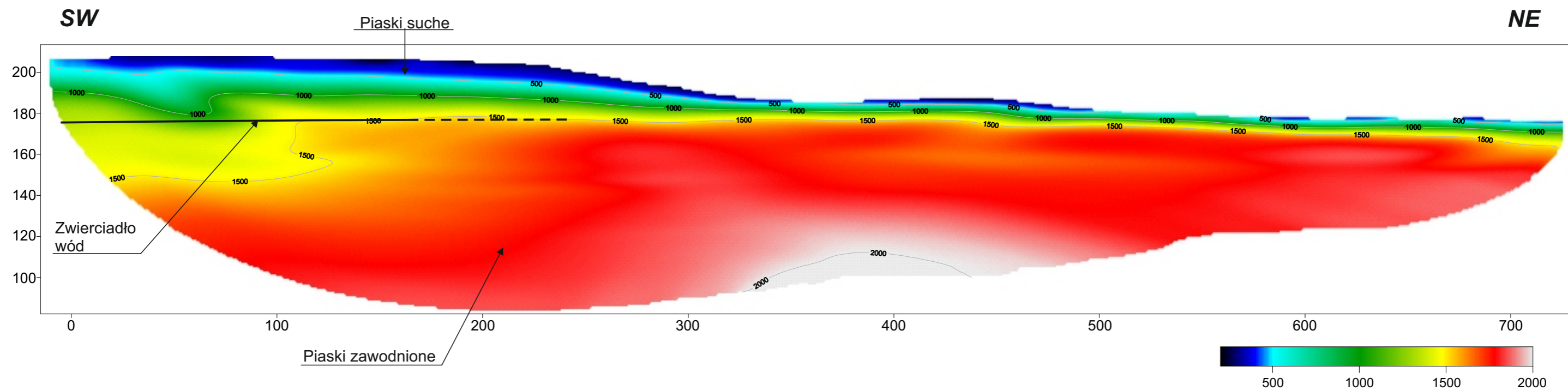


Fig. 4.3.21.  
Przekrój elektrooporowy wzdłuż linii badawczej  
**Tułowice I**

Tułowice II  
Sejsmiczna tomografia refrakcyjna



Sejsmika refleksyjna (sekcja czasowa)

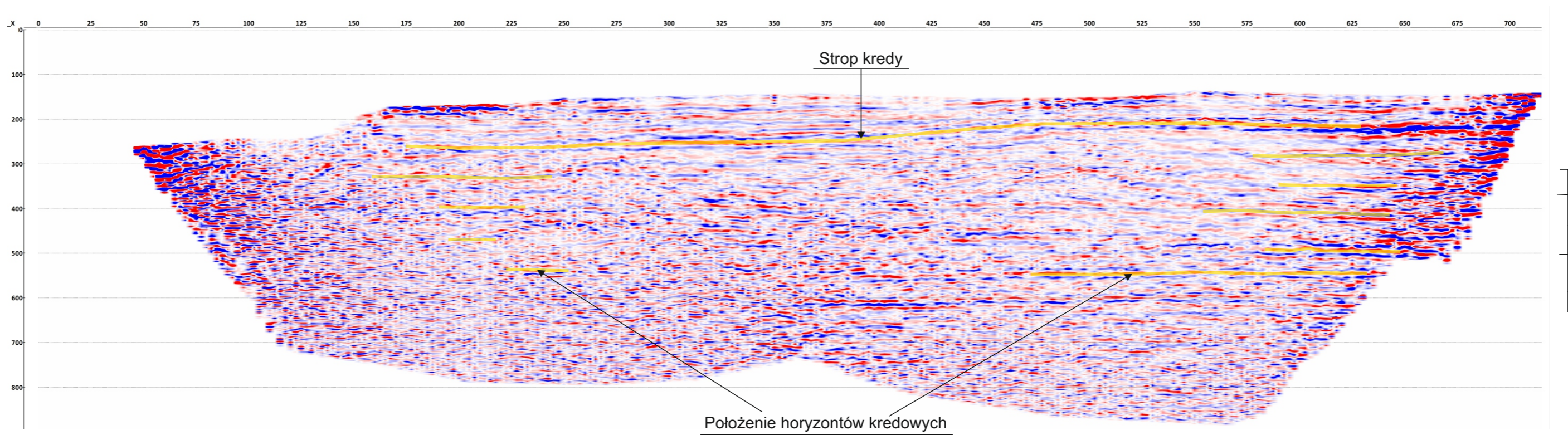


Fig. 4.3.22.  
Przekrój sejsmiczny wzdłuż linii badawczej  
Tułowice II

Głuchów Górny - sejsmika refleksyjna

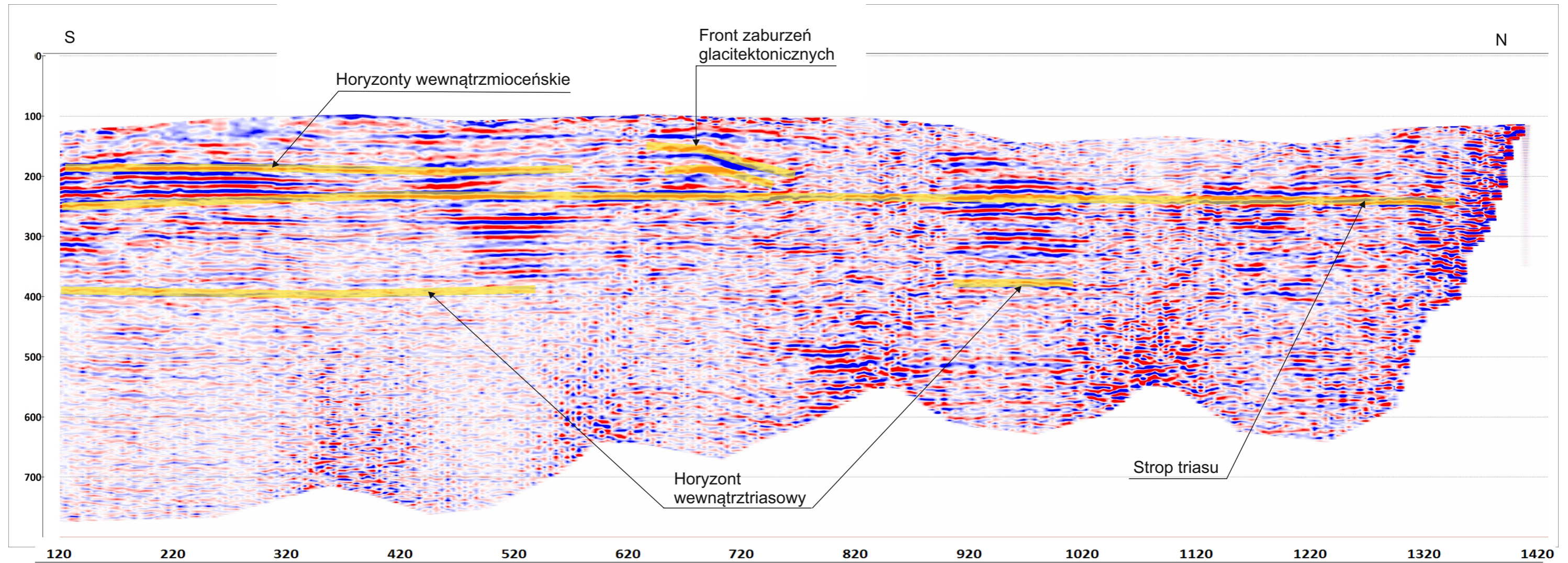


Fig. 4.3.23.  
Przekrój sejsmiczny wzdłuż linii badawczej  
Głuchów Górny

# Kępa - tomografia elektrooporowa

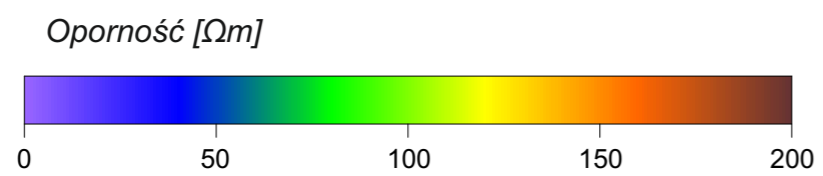
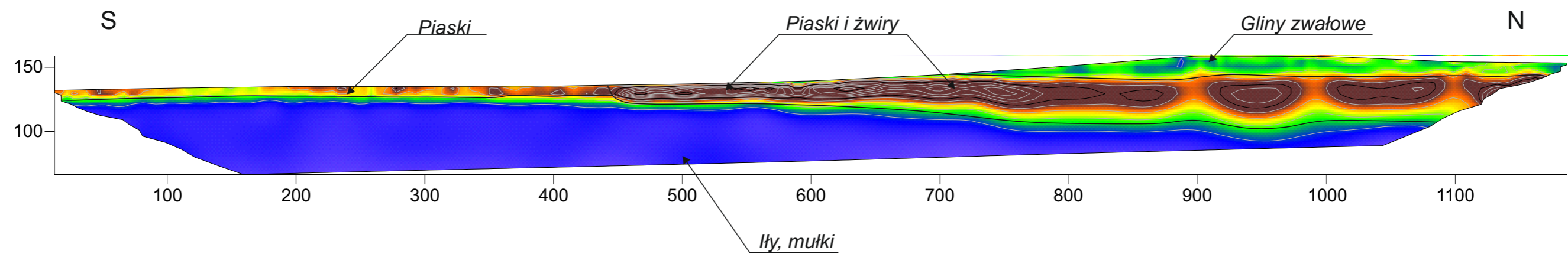


Fig. 4.3.24.  
Przekrój elektrooporowy wzdłuż linii badawczej  
**Kępa**